

DAFTAR PUSTAKA

- Adiningsih, E. S., Soenarmo, S. H., dan Mujiasih, S., 2001. Kajian Perubahan Distribusi Spasial Suhu Udara Akibat Perubahan Penutupan Lahan. *Warta LAPAN*. 3 (1): 29-44
- Aisha, I. N., dan Indradjati, P. N., 2013. Adaptasi Penerapan Bentuk Mitigasi *Urban Heat Island* (UHI) Pada Kawasan Pusat Kota Bandung. *Jurnal Perencanaan Wilayah dan Kota*. ITB.
- Anargi, A., 2008. *Aplikasi Sistem Informasi Geografis Untuk Pemetaan Perubahan Penggunaan Lahan Kota Semarang Tahun 1994 dan Tahun 2005*. Skripsi :Universitas Negeri Semarang.
- Arhatin. 2010. *Modul Pelatihan Pembangunan Indeks Kerentanan Pantai*. Bogor: Institut Pertanian Bogor.
- Arnanto, A., 2013. Pemanfaatan transformasi Normalized Difference Vegetation Indeks (NDVI) Citra Landsat TM Untuk Zonasi Vegetasi Di Lereng Merapi Bagian Selatan. *Jurnal Geomedia*. 11(2): 155-170
- Andani, N. D., Sasmito, B., dan Hani'ah., 2018. Pengaruh Perubahan Tutupan Lahan Terhadap Fenomena *Urban Heat Island* dan Keterkaitannya Dengan Tingkat Kenyamanan Termal (Temperature Humidity Index) Di Kota Semarang. *Jurnal Geodesi Undip*.7(3): 53-65
- Atrianta, L., Sudibyakto, A. H., dan Hisbarn, D. R., 2017. Pengaruh Intensitas Pemanfaatan Ruang Terhadap SUHI di Perkotaan Yogyakarta. Program Studi Ilmu Lingkungan UGM Yogyakarta.
- Delarizka, A., Bandi, S., dan Hani'ah., 2016. Analisis Fenomena Pulau Bahang (*Urban Heat Island*) di Kota Semarang berdasarkan Hubungan antara Perubahan Tutupan Lahan dengan Suhu Permukaan menggunakan Citra Multi Temporal Landsat. *Jurnal Geodesi UNDIP*. Semarang: Universitas Diponegoro.
- Danoedoro, P., 1996. *Pengolahan Citra Digital Teori dan Aplikasinya dalam Bidang Penginderaan Jauh*. Yogyakarta: Universitas Gadjah Mada.
- Danoedoro, P. (2012). *Pengantar penginderaan jauh digital*. Penerbit Andi, Yogyakarta.
- Farina, A., 2012. *Exploring the relationship between land surface temperature and vegetation abundance for urban heat island mitigation in Seville, Spain*. LUMA-GIS Thesis nr 15: LUND University.

- Fawzi, N. I., dan Naharil, N., 2013. Kajian *Urban Heat Island* di Kota Yogyakarta– Hubungan antara Tutupan Lahan dan Suhu Permukaan. *Prosiding Simposium Nasional Sains Geoinformasi*. 275-280.
- Finn, M. P., Reed, M. D., and Yamamoto, K. H., 2013. A Straight Forward Guide for Processing Radiance and Reflectance for EO-1 ALI, Landsat 5 TM, Landsat7 ETM+, and ASTER. *Unpublished Report from USGS/Center of Excellence for Geospatial Information Science*.
- Irawan, S., dan Sirait, J., 2017. Perubahan Kerapatan Vegetasi Menggunakan Citra Landsat 8 Di Kota Batam Berbasis Web. *Jurnal Kelautan*. 10 (2):174-184
- Jatmiko, R. H., 2015. Penggunaan Citra Saluran Infra merah Termal untuk Studi Perubahan Tutupan Lahan dan Suhu sebagai Indikator Perubahan Iklim Perkotaan di Yogyakarta. *Disertasi*. Yogyakarta: Program Pasca Sarjana Universitas Gadjah Mada.
- Jensen, J., 2005. *Remote Sensing of the Environment: An Earth Resource Perspective*. Prentice-Hill: New Jersey.
- Kusmana, C., 1993. *A Study on Mangrove Forest Management Based on Ecological Data in Eastern Sumatra, Indonesia* (Doctoral dissertation, Ph. D. Dissertation. Faculty of Agriculture, Kyoto University, Japan. Unpublish).
- Lillesand, T. M., dan Kiefer, R.W., 1997. *Penginderaan Jauh dan Interpretasi Citra*. Diterjemahkan : Dulbahri, Prapto Suharsono, Hartono, Suharyadi. Gajah Mada University Press. Yogyakarta.
- Lowry, dalam Adiningsih, E. S., Soenarmo, S. H., dan Mujiasih, S., 2001. Kajian Perubahan Distribusi Spasial Suhu Udara Akibat Perubahan Penutupan Lahan. *Warta LAPAN*. 3 (1) : 29-44
- Naf, M. ZT., dan Hernawati, R., 2018. Analisis Fenomena UHI (*Urban Heat Island*) Berdasarkan Hubungan Antara Kerapatan Vegetasi dengan Suhu Permukaan (Studi kasus: Kota Bandung, Jawa Barat). *ITB Indonesian Journal of Geospatial*. 5 (1) : 25-36
- Owen, O. S., 1975. *Natural Resource Consevation, An Ecological approach, second edition*, Mac milan publishing.co.inc, New York.
- Prasetyo, N, N., Sasmito, B., dan Prasetyo, Y., 2017. Analisis Perubahan Kerapatan Hutan Menggunakan Metode *Ndvi* Dan *Evi* Pada Citra Satelit Landsat 8 Tahun 2013 Dan 2016 (Area Studi : Kabupaten Semarang). *Jurnal Geodesi Undip*. 6(3):21-27
- Rahiem, M. M., Fakhlevi, M. R., dan Hekmatyar, M. I., 2019. Analisis Fenomena Pulau Panas Perkotaan Kota Bandung Menggunakan Google Earth Engine. *Seminar Nasional Penginderaan Jauh*:61-68

- Rajeshwari, A., dan Mani, N. D., 2014. Estimation of land surface temperature of Dindigul district using landsat 8 data. *IJRET: International Journal of Research in Engineering and Technology*. 3(5): 122-126
- Reuben, L.M., 2012. *Spatio-Temporal Dynamics Of The Urban Heat Island In Singapore*. Phd Thesis. National University of Singapore, Singapore.
- Rinner, C., and Hussain, M., 2011. Toronto's *Urban Heat Island*-Exploring the Relationship between Land Use and Surface Temperature. *Remote Sensing* 3:1251-1265
- Sobrino, J. A., J.C Jimenez-Munoz. And Polini, L., 2004. Land Surface Temperature Retrieval from Landsat TM 5. *Remote Sensing of Environment*. 90: 434-440
- Spies, T. A., and Tunner, M. G., 1999. Dynamic Forest Mosaic in Monitoring Biodiversity. In Hunter, M.L, Jr. (Ed.). *Forest Ecosystem*. Cambridge University Press. Cambridge. 8 :35-44
- Tursilowati, L., 2007. *Urban Heat Island dan Kontribusinya pada Perubahan Iklim dan Hubungannya dengan Perubahan Lahan*. Bandung. Lembaga Penerbangan dan Antariksa Nasional: 89-96
- Urfiyah, U., 2019. *Analisis Hubungan Normalized Difference Vegetation Index (NDVI) Dengan Land Surface Temperature (LST) Di Kota Malang Menggunakan Citra Landsat 8*. Skripsi, Fakultas Matematika dan ilmu pengetahuan alam. Jember: Universitas Jember.
- Wiweka. 2014. *Pola Suhu Permukaan Dan Udara Menggunakan Citra Satelit Landsat Multitemporal*. Ecolab 8 (1): 1–52
- Zulkarnain, RC., 2016. *Pengaruh Perubahan Tutupan Lahan Terhadap Perubahan Suhu Permukaan Di Kota Surabaya*. Tugas Akhir, Fakultas Teknik Sipil dan Perencanaan. Surabaya: Institut Teknologi Sepuluh Nopember.

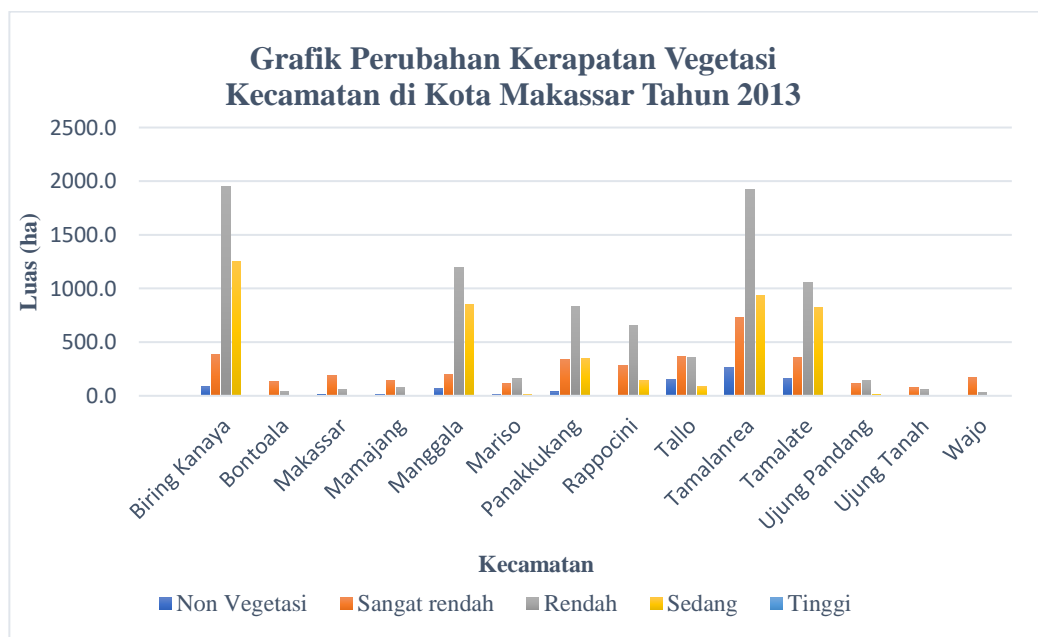
LAMPIRAN

**LAMPIRAN 1. PERSEBARAN SPASIAL KERAPATAN VEGETASI
KECAMATAN DI KOTA MAKASSAR**

**1. Persebaran Spasial Kerapatan Vegetasi Kecamatan di Kota Makassar
Tahun 2013**

Kecamatan	Kerapatan Vegetasi				
	Non Vegetasi	Sangat rendah	Rendah	Sedang	Tinggi
Biring Kanaya	84.6	386.4	1954.3	1250.2	
Bontoala		131.8	41.1	3.1	
Makassar	9.5	189.8	60.7	4.9	
Mamajang	13.4	145.2	81.3	5.1	
Manggala	69.5	202.2	1198.8	846.7	0.5
Mariso	15.2	112.9	158.1	15.3	
Panakkukang	36.5	339.2	835.8	352.3	
Rappocini	1.6	284.2	656.9	142.5	
Tallo	156.2	366.1	359.6	90.7	
Tamalanrea	262.3	726.5	1922.0	939.0	0.2
Tamalate	161.8	356.6	1058.2	825.7	5.1
Ujung Pandang	0.3	112.3	144.9	11.5	
Ujung Tanah	1.9	75.6	55.8	6.0	
Wajo	0.7	169.9	33.3	0.9	
Jumlah	813	3599	8561	4494	6

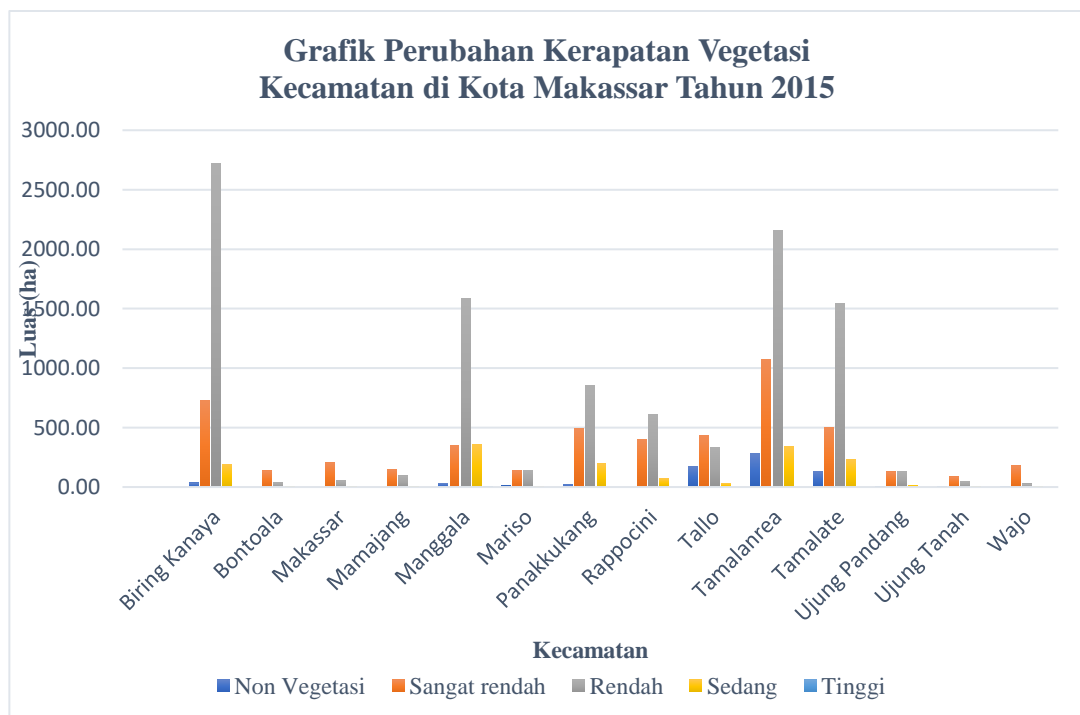
- Grafik Persebaran Spasial Kerapatan Vegetasi Kecamatan di Kota Makassar Tahun 2013 adalah sebagai berikut:



2. Persebaran Spasial Kerapatan Vegetasi Kecamatan di Kota Makassar Tahun 2015

Kecamatan	Kerapatan Vegetasi				
	Non Vegetasi	Sangat rendah	Rendah	Sedang	Tinggi
Biring Kanaya	35.92	724.56	2722.14	193.29	
Bontoala		135.79	39.17	1.14	
Makassar		204.46	57.51	2.95	
Mamajang		148.24	93.42	3.32	
Manggala	33.51	348.61	1581.40	353.52	0.06
Mariso	8.81	141.48	143.07	8.18	
Panakkukang	22.44	492.31	852.44	196.49	
Rappocini	0.00	403.78	606.39	75.09	
Tallo	172.45	435.51	332.03	32.60	
Tamalanrea	281.33	1073.88	2153.23	341.64	
Tamalate	133.77	504.62	1541.93	227.88	
Ujung Pandang	0.11	127.46	129.58	11.89	
Ujung Tanah	1.60	86.83	48.71	2.23	
Wajo	0.66	176.98	26.47	0.60	
Jumlah	690.59	5004.50	10327.50	1450.81	0.06

- Grafik Persebaran Spasial Kerapatan Vegetasi Kecamatan di Kota Makassar Tahun 2015 adalah sebagai berikut:



3. Persebaran Spasial Kerapatan Vegetasi Kecamatan di Kota Makassar Tahun 2020

Kecamatan	Kerapatan Vegetasi				
	Non Vegetasi	Sangat rendah	Rendah	Sedang	Tinggi
Biring Kanaya	59.95	647.78	2329.83	638.16	
Bontoala	0.25	133.71	38.85	3.28	
Makassar	0.32	199.23	61.03	4.34	
Mamajang	0.06	140.35	98.53	6.05	
Manggala	42.11	401.34	1164.68	707.53	1.88
Mariso	5.11	125.53	143.76	27.14	
Panakkukang	49.79	477.18	755.29	281.41	
Rappocini	0.23	421.73	552.52	110.20	0.44
Tallo	181.06	403.13	334.06	54.21	
Tamalanrea	330.53	882.21	1924.09	713.22	0.06
Tamalate	143.14	480.09	1188.65	596.30	0.14
Ujung Pandang	0.39	120.10	137.28	11.21	
Ujung Tanah	1.63	81.61	50.96	5.12	
Wajo	1.71	168.50	33.36	1.01	
Jumlah	816.27	4682.51	8812.89	3159.19	2.52

- Grafik Persebaran Spasial Kerapatan Vegetasi Kecamatan di Kota Makassar Tahun 2020 adalah sebagai berikut:

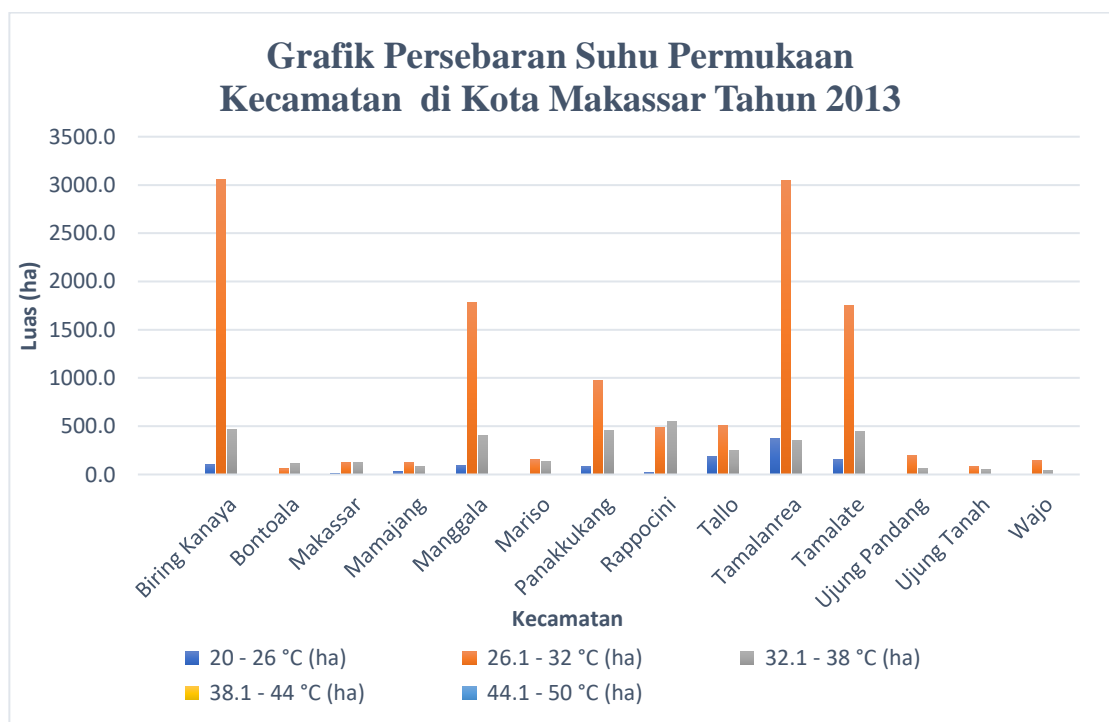


**LAMPIRAN 2. PERSEBARAN SPASIAL SUHU PERMUKAAN
KECAMATAN DI KOTA MAKASSAR.**

1. Persebaran Suhu Permukaan Kecamatan di Kota Makassar Tahun 2013

Kecamatan	20 - 26 °C (ha)	26.1 - 32 °C (ha)	32.1 - 38 °C (ha)	38.1 - 44 °C (ha)	44.1 - 50 °C (ha)
Biring Kanaya	102.0	3055.4	461.3		
Bontoala		60.7	109.2		
Makassar	9.0	124.0	124.2		
Mamajang	28.8	128.1	82.5		
Manggala	94.5	1782.9	399.4		
Mariso	4.9	153.6	134.8		
Panakkukang	85.2	971.9	455.0		
Rappocini	24.7	485.2	546.7		
Tallo	187.9	507.3	245.7		
Tamalanrea	373.1	3047.7	356.7		
Tamalate	154.9	1755.9	450.4		
Ujung Pandang	0.0	201.7	63.2		
Ujung Tanah	0.6	85.7	50.8		
Wajo		149.0	41.8		
Jumlah	1065.8	12509.1	3521.4	0	0

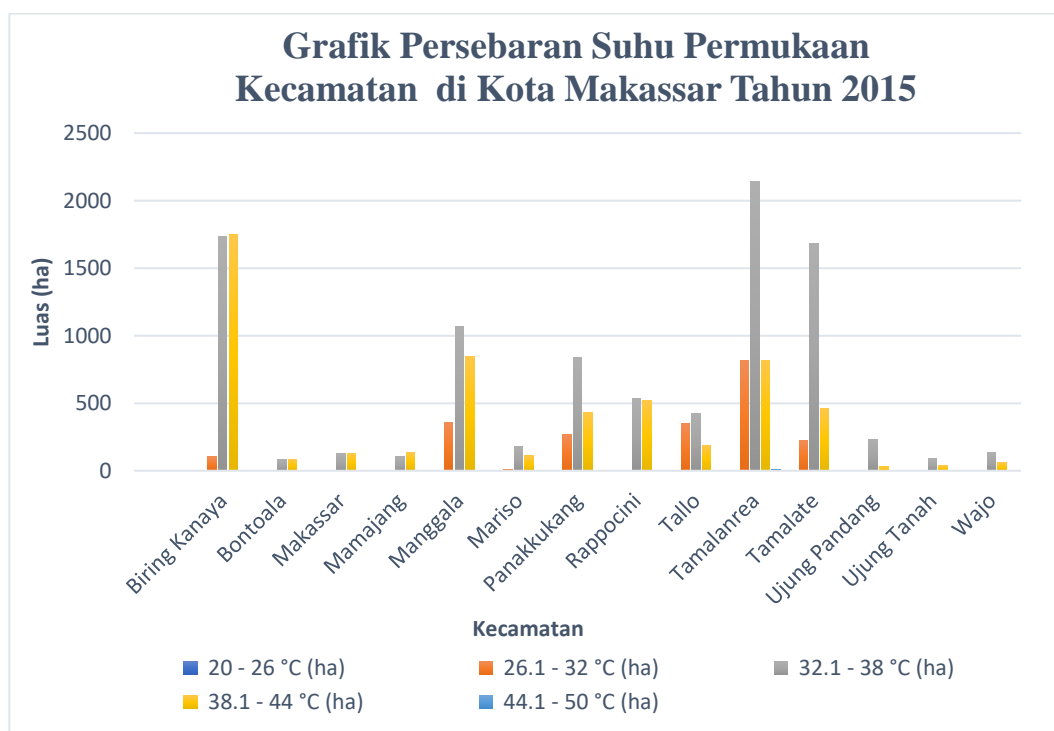
- Grafik Persebaran Suhu Permukaan Kecamatan di Kota Makassar Tahun 2013 adalah sebagai berikut:



2. Persebaran Suhu Permukaan Kecamatan di Kota Makassar Tahun 2015

Kecamatan	20 - 26 °C (ha)	26.1 - 32 °C (ha)	32.1 - 38 °C (ha)	38.1 - 44 °C (ha)	44.1 - 50 °C (ha)
Biring Kanaya		102.4	1734.4	1746.3	
Bontoala			84.7	86.2	
Makassar		0.1	127.2	129.4	
Mamajang			103.4	136.2	
Manggala		359.5	1065.5	846.1	4.1
Mariso		9.0	176.2	109.9	
Panakkukang		265.9	835.5	431.4	
Rappocini		2.0	534.8	521.2	
Tallo		347.6	423.1	185.4	
Tamalanrea		814.2	2142.0	816.5	5.6
Tamalate	0.13	226.1	1680.8	462.8	
Ujung Pandang		1.7	233.9	28.5	
Ujung Tanah		5.0	88.5	42.1	
Wajo		0.6	134.6	60.7	
Jumlah	0.13	2134.22	9364.71	5602.66	9.70

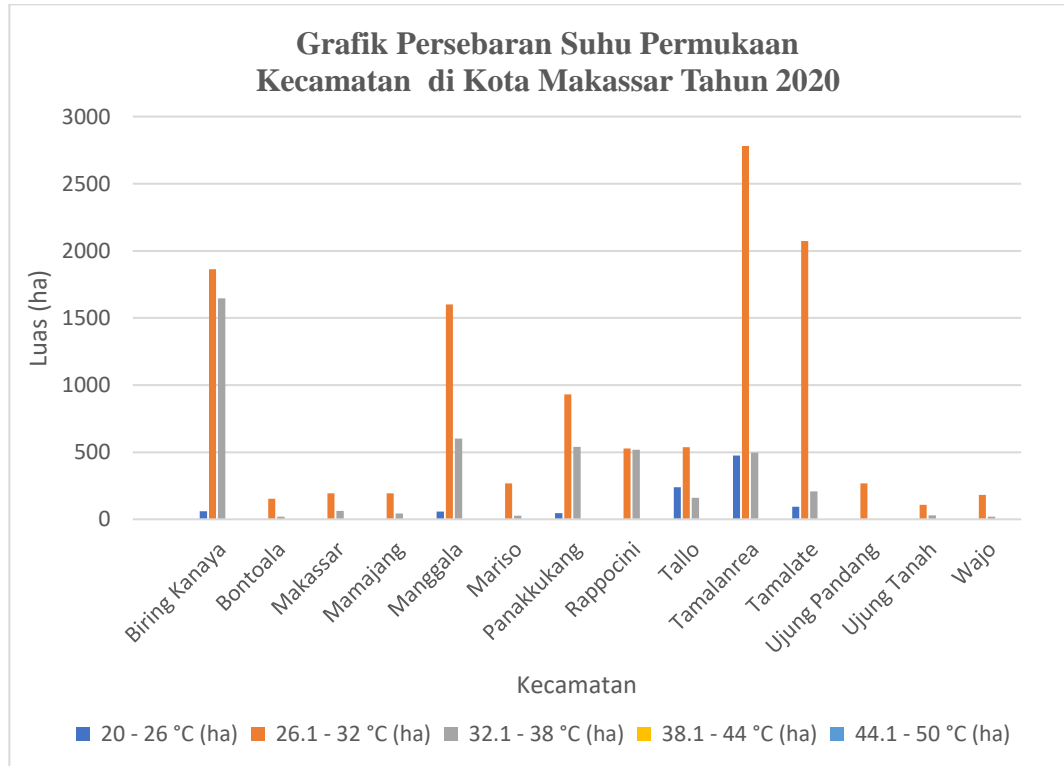
- Grafik Persebaran Suhu Permukaan Kecamatan di Kota Makassar Tahun 2015 adalah sebagai berikut:



3. Persebaran Suhu Permukaan Kecamatan di Kota Makassar Tahun 2020

Kecamatan	20 - 26 °C (ha)	26.1 - 32 °C (ha)	32.1 - 38 °C (ha)	38.1 - 44 °C (ha)	44.1 - 50 °C (ha)
Biring Kanaya	60	1862	1647		
Bontoala		153	19		
Makassar		194	63		
Mamajang		193	44		
Manggala	58	1601	602	3.8	
Mariso	1	268	27		
Panakkukang	46	931	539		
Rappocini		526	519		
Tallo	239	537	160		
Tamalanrea	475	2781	497		
Tamalate	93	2072	208		
Ujung Pandang		268	0		
Ujung Tanah	0	107	29		
Wajo		181	21		
Jumlah	972.53	11674.88	4375.70	3.82	0

- Grafik Persebaran Suhu Permukaan Kecamatan di Kota Makassar Tahun 2020 adalah sebagai berikut:

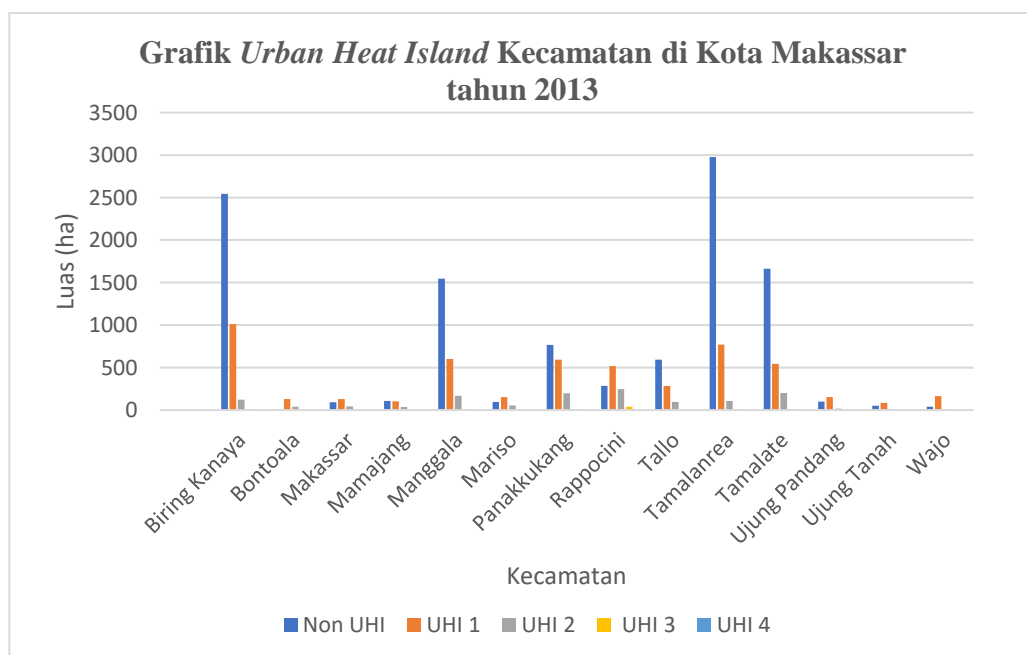


LAMPIRAN 3. PERSEBARAN SPASIAL *URBAN HEAT ISLAND* KECAMATAN DI KOTA MAKASSAR.

1. Persebaran *Urban Heat Island* (UHI) Kecamatan di Kota Makassar Tahun 2013

Kecamatan	Non UHI	UHI 1	UHI 2	UHI 3	UHI 4
Biring Kanaya	2544	1011	121	1	
Bontoala	6	129	41		
Makassar	93	129	43		
Mamajang	107	104	34		
Manggala	1548	601	165	4	
Mariso	95	153	54		
Panakkukang	767	592	198	7	
Rappocini	285	517	245	38	
Tallo	593	284	96		
Tamalanrea	2976	768	106	0	
Tamalate	1664	543	201	2	
Ujung Pandang	98	153	18		
Ujung Tanah	51	83	6		
Wajo	41	164	0		
Jumlah	10869	5231	1328	51	0

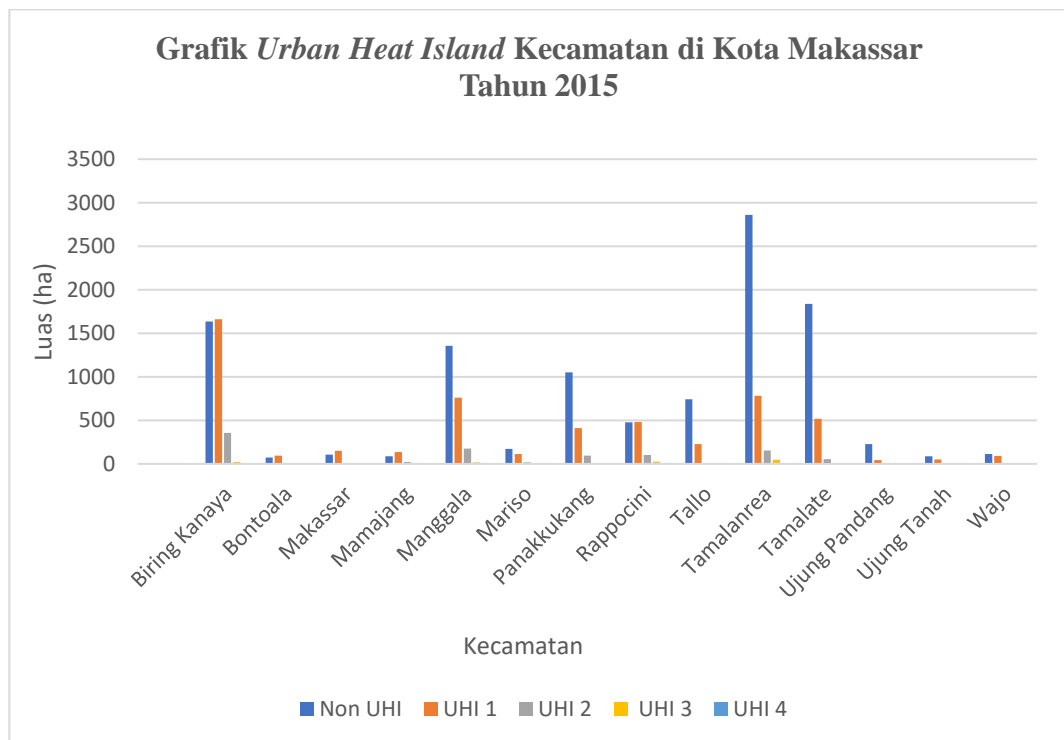
- Grafik Persebaran *Urban Heat Island* (UHI) Kecamatan di Kota Makassar Tahun 2013 adalah sebagai berikut:



2. Persebaran *Urban Heat Island* (UHI) Kecamatan di Kota Makassar Tahun 2015

Kecamatan	Non UHI	UHI 1	UHI 2	UHI 3	UHI 4
Biring Kanaya	1637	1661	356	21	0
Bontoala	71	94	11		
Makassar	108	151	6		
Mamajang	88	134	23		
Manggala	1357	762	175	18	7
Mariso	171	113	17		
Panakkukang	1053	413	97	1	
Rappocini	478	482	101	24	
Tallo	743	228	2		
Tamalanrea	2860	783	152	48	7
Tamalate	1838	519	54		
Ujung Pandang	227	43			
Ujung Tanah	87	50	2		
Wajo	114	91	0		
Jumlah	10832	5523	996	113	15

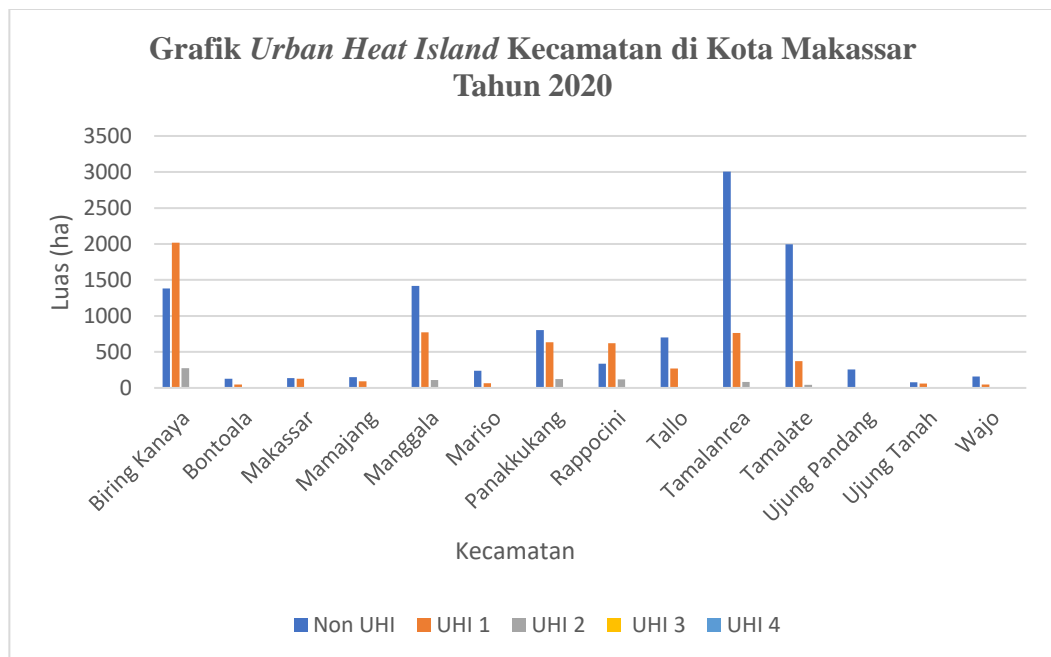
- Grafik Persebaran *Urban Heat Island* (UHI) Kecamatan di Kota Makassar Tahun 2015 adalah sebagai berikut:



3. Persebaran *Urban Heat Island* (UHI) Kecamatan di Kota Makassar Tahun 2020

Kecamatan	Non UHI	UHI 1	UHI 2	UHI 3	UHI 4
Biring Kanaya	1383	2016	273	4	
Bontoala	128	48			
Makassar	137	127			
Mamajang	149	92	4		
Manggala	1419	771	111	11	6
Mariso	238	64			
Panakkukang	802	633	122	6	
Rappocini	337	620	120	8	
Tallo	699	268	5		
Tamalanrea	3003	761	83	4	
Tamalate	1994	371	44		
Ujung Pandang	256	13			
Ujung Tanah	78	61	0		
Wajo	157	47	1		
Jumlah	10781	5895	764	32	6

- Grafik Persebaran *Urban Heat Island* (UHI) Kecamatan di Kota Makassar Tahun 2020 adalah sebagai berikut:



**LAMPIRAN 4. METADATA PADA CITRA LANDSAT 8 TAHUN 2013, 2015
DAN 2020.**

1. Metadata Citra Landsat 8 Tahun 2013

```
LC08_L1TP_114064_20130817_20170503_01_T1_MTL - Notepad
File Edit Format View Help
GROUP = RADIOMETRIC_RESCALING
RADIANCE_MULT_BAND_1 = 1.2250E-02
RADIANCE_MULT_BAND_2 = 1.2544E-02
RADIANCE_MULT_BAND_3 = 1.1559E-02
RADIANCE_MULT_BAND_4 = 9.7474E-03
RADIANCE_MULT_BAND_5 = 5.9649E-03
RADIANCE_MULT_BAND_6 = 1.4834E-03
RADIANCE_MULT_BAND_7 = 4.9999E-04
RADIANCE_MULT_BAND_8 = 1.1031E-02
RADIANCE_MULT_BAND_9 = 2.3312E-03
RADIANCE_MULT_BAND_10 = 3.3420E-04
RADIANCE_MULT_BAND_11 = 3.3420E-04
RADIANCE_ADD_BAND_1 = -61.24934
RADIANCE_ADD_BAND_2 = -62.72007
RADIANCE_ADD_BAND_3 = -57.79601
RADIANCE_ADD_BAND_4 = -48.73685
RADIANCE_ADD_BAND_5 = -29.82452
RADIANCE_ADD_BAND_6 = -7.41709
RADIANCE_ADD_BAND_7 = -2.49996
RADIANCE_ADD_BAND_8 = -55.15671
RADIANCE_ADD_BAND_9 = -11.65610
RADIANCE_ADD_BAND_10 = 0.10000
RADIANCE_ADD_BAND_11 = 0.10000
```

• **Nilai Konstanta Konversi Band Termal tahun 2013**

```
LC08_L1TP_114064_20130817_20170503_01_T1_MTL - Notepad
File Edit Format View Help
REFLECTANCE_ADD_BAND_7 = -0.100000
REFLECTANCE_ADD_BAND_8 = -0.100000
REFLECTANCE_ADD_BAND_9 = -0.100000
END_GROUP = RADIOMETRIC_RESCALING
GROUP = TIRS_THERMAL_CONSTANTS
K1_CONSTANT_BAND_10 = 774.8853
K2_CONSTANT_BAND_10 = 1321.0789
K1_CONSTANT_BAND_11 = 480.8883
K2_CONSTANT_BAND_11 = 1201.1442
END_GROUP = TIRS_THERMAL_CONSTANTS
```

2. Metadata Citra Landsat 8 Tahun 2015

```
LC08_L1TP_114064_20150908_20180204_01_T1_MTL - Notepad
File Edit Format View Help
GROUP = RADIOMETRIC_RESCALING
RADIANCE_MULT_BAND_1 = 1.2366E-02
RADIANCE_MULT_BAND_2 = 1.2663E-02
RADIANCE_MULT_BAND_3 = 1.1669E-02
RADIANCE_MULT_BAND_4 = 9.8396E-03
RADIANCE_MULT_BAND_5 = 6.0214E-03
RADIANCE_MULT_BAND_6 = 1.4975E-03
RADIANCE_MULT_BAND_7 = 5.0472E-04
RADIANCE_MULT_BAND_8 = 1.1136E-02
RADIANCE_MULT_BAND_9 = 2.3533E-03
RADIANCE_MULT_BAND_10 = 3.3420E-04
RADIANCE_MULT_BAND_11 = 3.3420E-04
RADIANCE_ADD_BAND_1 = -61.82911
RADIANCE_ADD_BAND_2 = -63.31377
RADIANCE_ADD_BAND_3 = -58.34309
RADIANCE_ADD_BAND_4 = -49.19818
RADIANCE_ADD_BAND_5 = -30.10684
RADIANCE_ADD_BAND_6 = -7.48730
RADIANCE_ADD_BAND_7 = -2.52362
RADIANCE_ADD_BAND_8 = -55.67880
RADIANCE_ADD_BAND_9 = -11.76643
RADIANCE_ADD_BAND_10 = 0.10000
RADIANCE_ADD_BAND_11 = 0.10000
REFLECTANCE_MULT_BAND_1 = 2.0000E-05
```

- Nilai Konstanta Konversi Band Termal tahun 2015

```
LC08_L1TP_114064_20150908_20180204_01_T1_MTL - Notepad
File Edit Format View Help
REFLECTANCE_ADD_BAND_7 = -0.100000
REFLECTANCE_ADD_BAND_8 = -0.100000
REFLECTANCE_ADD_BAND_9 = -0.100000
END_GROUP = RADIOMETRIC_RESCALING
GROUP = TIRS_THERMAL_CONSTANTS
K1_CONSTANT_BAND_10 = 774.8853
K2_CONSTANT_BAND_10 = 1321.0789
K1_CONSTANT_BAND_11 = 480.8883
K2_CONSTANT_BAND_11 = 1201.1442
END_GROUP = TIRS_THERMAL_CONSTANTS
```

3. Metadata Citra Landsat 8 Tahun 2020

```
LC08_L1TP_114064_20200820_0200820_01_RT_MTL - Notepad
File Edit Format View Help
GROUP = RADIOMETRIC_RESCALING
RADIANCE_MULT_BAND_1 = 1.2263E-02
RADIANCE_MULT_BAND_2 = 1.2557E-02
RADIANCE_MULT_BAND_3 = 1.1572E-02
RADIANCE_MULT_BAND_4 = 9.7578E-03
RADIANCE_MULT_BAND_5 = 5.9713E-03
RADIANCE_MULT_BAND_6 = 1.4850E-03
RADIANCE_MULT_BAND_7 = 5.0053E-04
RADIANCE_MULT_BAND_8 = 1.1043E-02
RADIANCE_MULT_BAND_9 = 2.3337E-03
RADIANCE_MULT_BAND_10 = 3.3420E-04
RADIANCE_MULT_BAND_11 = 3.3420E-04
RADIANCE_ADD_BAND_1 = -61.31479
RADIANCE_ADD_BAND_2 = -62.78709
RADIANCE_ADD_BAND_3 = -57.85777
RADIANCE_ADD_BAND_4 = -48.78893
RADIANCE_ADD_BAND_5 = -29.85639
RADIANCE_ADD_BAND_6 = -7.42501
RADIANCE_ADD_BAND_7 = -2.50263
RADIANCE_ADD_BAND_8 = -55.21564
RADIANCE_ADD_BAND_9 = -11.66855
RADIANCE_ADD_BAND_10 = 0.10000
RADIANCE_ADD_BAND_11 = 0.10000
```

- Nilai Konstanta Konversi Band Termal tahun 2020

```
LC08_L1TP_114064_20200820_0200820_01_RT_MTL - Notepad
File Edit Format View Help
REFLECTANCE_ADD_BAND_7 = -0.100000
REFLECTANCE_ADD_BAND_8 = -0.100000
REFLECTANCE_ADD_BAND_9 = -0.100000
END_GROUP = RADIOMETRIC_RESCALING
GROUP = TIRS THERMAL CONSTANTS
K1_CONSTANT_BAND_10 = 774.8853
K2_CONSTANT_BAND_10 = 1321.0789
K1_CONSTANT_BAND_11 = 480.8883
K2_CONSTANT_BAND_11 = 1201.1442
```